

Starkniederschlagshöhen und -spenden gemäß KOSTRA-DWD-2010R

Auswertungszeitraum von 1951 - 2010, Januar - Dezember

Rasterfeld: 67033

Zeile: 67

Spalte: 33

Seite: 1/2

| Dauerstufe D | Wiederkehrzeit T | | | | | | | | | | | | | | | | | | |
|--------------|------------------|------|------------|------|------------|------|------------|------|------------|------|------------|------|------------|------|------------|------|------------|-------|------------|
| | 1 a | | 2 a | | 3 a | | 5 a | | 10 a | | 20 a | | 30 a | | 50 a | | 100 a | | |
| min | Std | mm | l / (s ha) | mm | l / (s ha) | mm | l / (s ha) | mm | l / (s ha) | mm | l / (s ha) | mm | l / (s ha) | mm | l / (s ha) | mm | l / (s ha) | mm | l / (s ha) |
| 5 | | 4,7 | 156,7 | 6,8 | 226,7 | 8,0 | 266,7 | 9,6 | 320,0 | 11,6 | 386,7 | 13,7 | 456,7 | 14,9 | 496,7 | 16,5 | 550,0 | 18,5 | 616,7 |
| 10 | | 7,6 | 126,7 | 10,3 | 171,7 | 11,9 | 198,3 | 13,9 | 231,7 | 16,7 | 278,3 | 19,4 | 323,3 | 21,0 | 350,0 | 23,0 | 383,3 | 25,7 | 428,3 |
| 15 | | 9,5 | 105,6 | 12,7 | 141,1 | 14,6 | 162,2 | 16,9 | 187,8 | 20,2 | 224,4 | 23,4 | 260,0 | 25,2 | 280,0 | 27,6 | 306,7 | 30,8 | 342,2 |
| 20 | | 10,9 | 90,8 | 14,5 | 120,8 | 16,6 | 138,3 | 19,2 | 160,0 | 22,8 | 190,0 | 26,4 | 220,0 | 28,5 | 237,5 | 31,1 | 259,2 | 34,7 | 289,2 |
| 30 | | 12,7 | 70,6 | 16,9 | 93,9 | 19,4 | 107,8 | 22,5 | 125,0 | 26,7 | 148,3 | 30,9 | 171,7 | 33,4 | 185,6 | 36,5 | 202,8 | 40,7 | 226,1 |
| 45 | | 14,3 | 53,0 | 19,3 | 71,5 | 22,2 | 82,2 | 25,8 | 95,6 | 30,8 | 114,1 | 35,7 | 132,2 | 38,6 | 143,0 | 42,2 | 156,3 | 47,2 | 174,8 |
| 60 | | 15,3 | 42,5 | 20,8 | 57,8 | 24,1 | 66,9 | 28,2 | 78,3 | 33,7 | 93,6 | 39,2 | 108,9 | 42,5 | 118,1 | 46,6 | 129,4 | 52,1 | 144,7 |
| 90 | | 17,0 | 31,5 | 22,8 | 42,2 | 26,2 | 48,5 | 30,5 | 56,5 | 36,3 | 67,2 | 42,1 | 78,0 | 45,5 | 84,3 | 49,7 | 92,0 | 55,5 | 102,8 |
| 120 | 2 | 18,3 | 25,4 | 24,3 | 33,8 | 27,8 | 38,6 | 32,2 | 44,7 | 38,2 | 53,1 | 44,2 | 61,4 | 47,7 | 66,3 | 52,1 | 72,4 | 58,1 | 80,7 |
| 180 | 3 | 20,3 | 18,8 | 26,6 | 24,6 | 30,3 | 28,1 | 34,9 | 32,3 | 41,2 | 38,1 | 47,4 | 43,9 | 51,1 | 47,3 | 55,7 | 51,6 | 62,0 | 57,4 |
| 240 | 4 | 21,9 | 15,2 | 28,4 | 19,7 | 32,2 | 22,4 | 37,0 | 25,7 | 43,4 | 30,1 | 49,9 | 34,7 | 53,7 | 37,3 | 58,5 | 40,6 | 65,0 | 45,1 |
| 360 | 6 | 24,3 | 11,3 | 31,1 | 14,4 | 35,1 | 16,3 | 40,1 | 18,6 | 46,9 | 21,7 | 53,7 | 24,9 | 57,6 | 26,7 | 62,6 | 29,0 | 69,4 | 32,1 |
| 540 | 9 | 27,0 | 8,3 | 34,1 | 10,5 | 38,3 | 11,8 | 43,5 | 13,4 | 50,6 | 15,6 | 57,7 | 17,8 | 61,9 | 19,1 | 67,1 | 20,7 | 74,2 | 22,9 |
| 720 | 12 | 29,1 | 6,7 | 36,4 | 8,4 | 40,7 | 9,4 | 46,1 | 10,7 | 53,5 | 12,4 | 60,8 | 14,1 | 65,1 | 15,1 | 70,5 | 16,3 | 77,9 | 18,0 |
| 1080 | 18 | 32,3 | 5,0 | 40,0 | 6,2 | 44,5 | 6,9 | 50,2 | 7,7 | 57,9 | 8,9 | 65,5 | 10,1 | 70,0 | 10,8 | 75,7 | 11,7 | 83,4 | 12,9 |
| 1440 | 24 | 34,8 | 4,0 | 42,7 | 4,9 | 47,4 | 5,5 | 53,3 | 6,2 | 61,2 | 7,1 | 69,1 | 8,0 | 73,8 | 8,5 | 79,7 | 9,2 | 87,6 | 10,1 |
| 2880 | 48 | 43,1 | 2,5 | 51,1 | 3,0 | 55,8 | 3,2 | 61,7 | 3,6 | 69,7 | 4,0 | 77,7 | 4,5 | 82,4 | 4,8 | 88,3 | 5,1 | 96,3 | 5,6 |
| 4320 | 72 | 48,9 | 1,9 | 56,9 | 2,2 | 61,6 | 2,4 | 67,6 | 2,6 | 75,6 | 2,9 | 83,6 | 3,2 | 88,3 | 3,4 | 94,3 | 3,6 | 102,3 | 3,9 |

Angaben in mm: Bemessungsniederschlagswerte h(n)

Angaben in l / (s ha): Regenspende R(n) mit $R(n) = h(n) \times 1,666667 / D[\text{min}]$

Toleranzbereiche:

+/- 10 % für $1 a \leq T \leq 5 a$

+/- 15 % für $5 a < T \leq 50 a$

+/- 20 % für $50 a < T \leq 100 a$

Datenbasis: KOSTRA-DWD-2010R des Deutschen Wetterdienstes. Die Regenspende wurde auf Basis des Bemessungsniederschlags zur jeweiligen Andauer berechnet.

Für die Richtigkeit und Aktualität der Angaben wird keine Gewähr übernommen. Erstellt 07/2022.

Starkniederschlagshöhen und -spenden gemäß KOSTRA-DWD-2010R

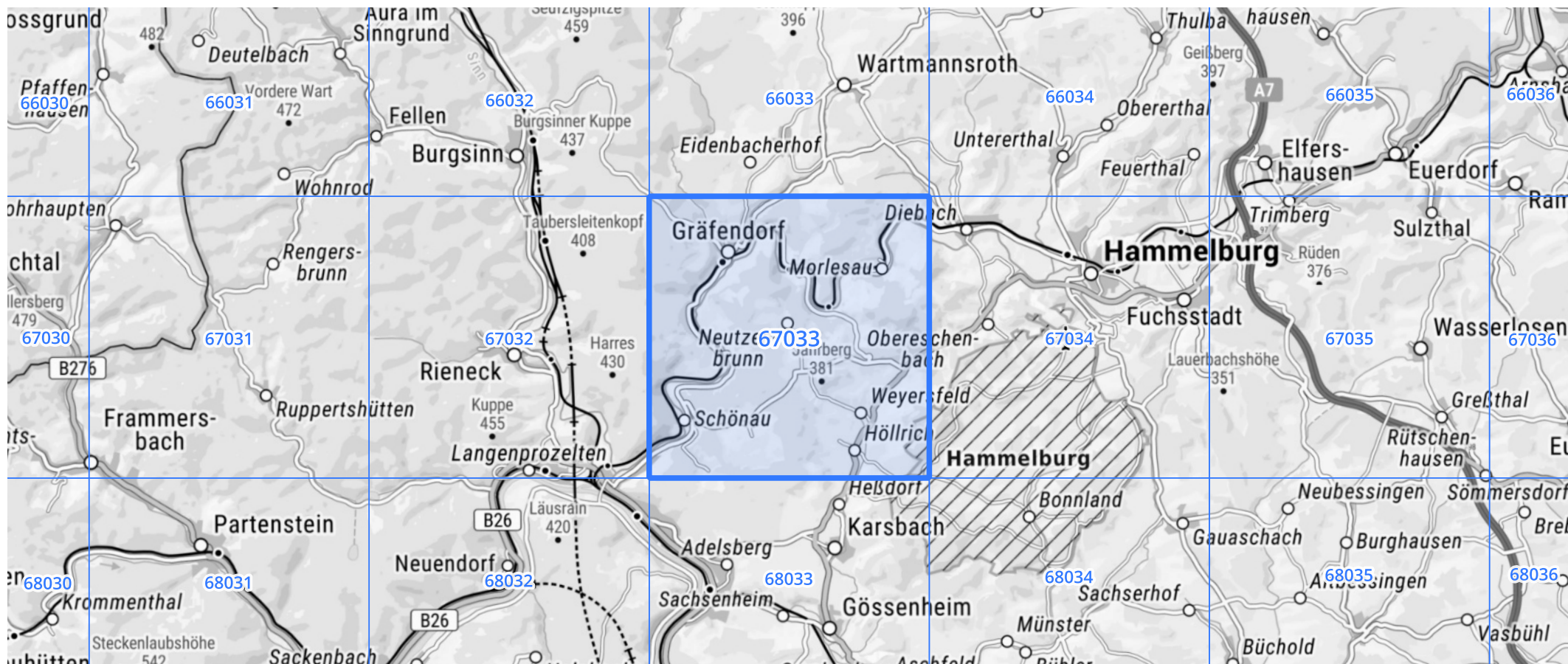
Auswertungszeitraum von 1951 - 2010, Januar - Dezember

Rasterfeld: 67033

Zeile: 67

Spalte: 33

Seite: 2/2



Quelle Rasterdaten: KOSTRA-DWD-2010R des Deutschen Wetterdienstes.

Kartendarstellung: © Bundesamt für Kartographie und Geodäsie (2022), Datenquellen: https://sgx.geodatenzentrum.de/web_public/gdz/datenquellen/Datenquellen_TopPlusOpen.html

Für die Richtigkeit und Aktualität der Angaben wird keine Gewähr übernommen. Erstellt 07/2022.